УДК 621.396.666 (8612) (045)

В. И. Рудаков, д-р техн. наук, ст. науч. сотр.

# АДАПТИВНЫЙ КОНТРОЛЬ ЧУВСТВИТЕЛЬНОСТИ ПРИЕМНИКА ПО ТРОПОСФЕРНОМУ ФОКАЛЬНОМУ ПЯТНУ ОБЛУЧАТЕЛЯ АДАПТИВНОЙ АНТЕННЫ

Центральный научно-исследовательский институт вооружения и военной техники Вооруженных Сил Украины, Украина, Киев, 03049, Воздухофлотский проспект, 28

Приведены доказательства возможности адаптивного контроля чувствительности приемника по тропосферному фокальному пятну облучателя адаптивной антенны, если функция распределения сигнал/шум контролируется адаптивно на входе приемника по оператору прогноза штатной предельной чувствительности приемника.

**Ключевые слова:** адаптивная антенна, облучатель, фокальное пятно, чувствительность приемника.

Введение и постановка задачи. Известно [1; 3; 4; 7], что адаптивный контроль осуществляется по максимуму информационной целевой функции станции цифровой тропосферной связи (СЦТС) (рис. 1) с помощью устойчивого, быстросходящегося алгоритма, который обеспечивает заданную точность стабилизации по информационному прогноза апостериорной ошибки  $[P_{\text{out}}^{\text{anoct}}]$  (прогнозируемая вероятность превышения выбросами случайного процесса  $[(Y_{\kappa p_i}) \leq (YP_{\kappa p_i}^{anocr})]$  порога приемника СЦТС для трех режимов роботы «линейное сложение», «оптимальное сложение», «автовыбор»), задаваясь необходимой точностью стабилизации оператора прогноза ошибки  $[P_{\text{ош}}^{\text{апост}}]$  (рис. 2) при поиске глобального максимума по двум операторам прогноза  $\Delta G_{\kappa. \ y}$  (потери усиления антенн),  $\Delta V_{\text{б. 3, м. 3}}$  (запас на быстрые и медленные замирания) при тропосферном распространении радиоволн (TPP). Информационный оператор прогноза ошибки [  $P_{
m om}^{
m anocr}$  ] определяется при этом как отношение прогнозируемой длительности времени превышения выбросами шума порога приемника к прогнозируемой длительности выборки сигнала, или отношение прогнозируемого числа интервалов превышения сигнала порога приемника прогнозируемому количеству интервалов квантования сигнала:

$$[P_{\text{om}}^{\text{anocr}} = \frac{T_{\text{B}}}{T} = \frac{N}{N_0}], \tag{1}$$

где [T] — прогнозируемая длительность выборки;  $[T_{\rm B}]$  — прогнозируемое время превышения выбросами шума порога приемника;  $[N_0]$  — прогнозируемое количество интервалов квантования; [N] — прогнозируемое количество интервалов, в течение которых наблюдается превышение порога приемника.

Задачею исследования в этом случае будет определение оператора прогноза распределения шумов на входе приемника  $[R_{nn}(V_iV_j)]$  в зависимости от адаптивных весовых коэффициентов  $V_i$ ,  $V_j$ , который контролирует информационную надежность СЦТС по оператору прогноза  $[P_{\text{out}}^{\text{anoct}}]$  в виде апостериорной ошибки  $P_{\text{out}}^{\text{anoct}}$  с учетом оценочной функции  $Y_{\text{кр}_i}^{\text{anoct}}$  (1), определяющейся энергетическими параметрами СЦТС в виде тропосферных фокальных пятен антенны  $I_{\text{z-тр}_i}^{\text{a}}$  и облучателя антенны  $I_{\text{z-тр}_i}^{\text{o}}$ . В этом случае по ошибке  $P_{\text{out}}^{\text{anoct}}$  необходимо учитывать знак рассогласования и амплитуду сигнала, что обеспечит быструю сходимость, например, рекуррентного адаптивного алгоритма адаптации (рис. 2) [1; 3; 4 – 8]. Поэтому и возникает необходимость контроля и управления скоростью сходимости рекуррентного адаптивного алгоритма адаптации, что составляет научную задачу исследования и цель этой научной работы. Для решения поставленной научной задачи используются методы адаптации, которые применяются в поисковых задачах

нахождения глобальных максимумов и одновременного исследования функционалов поиска глобального максимума на унимодальность.

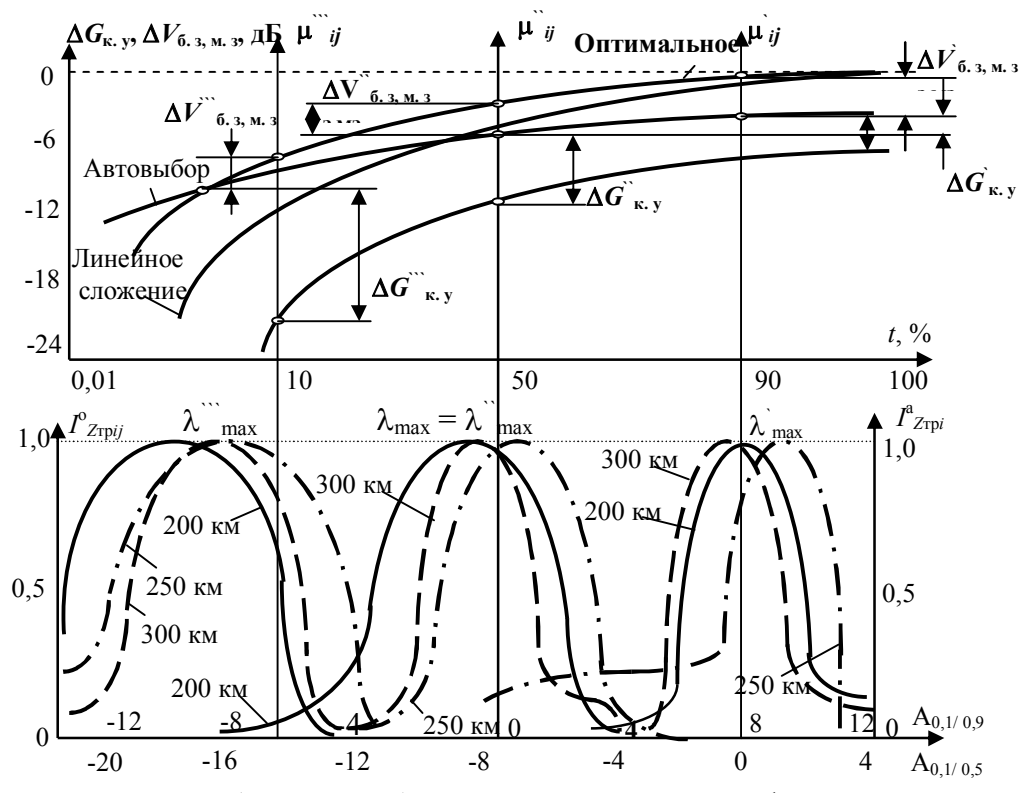


Рис. 1. Поиск глобального максимума целевой функции

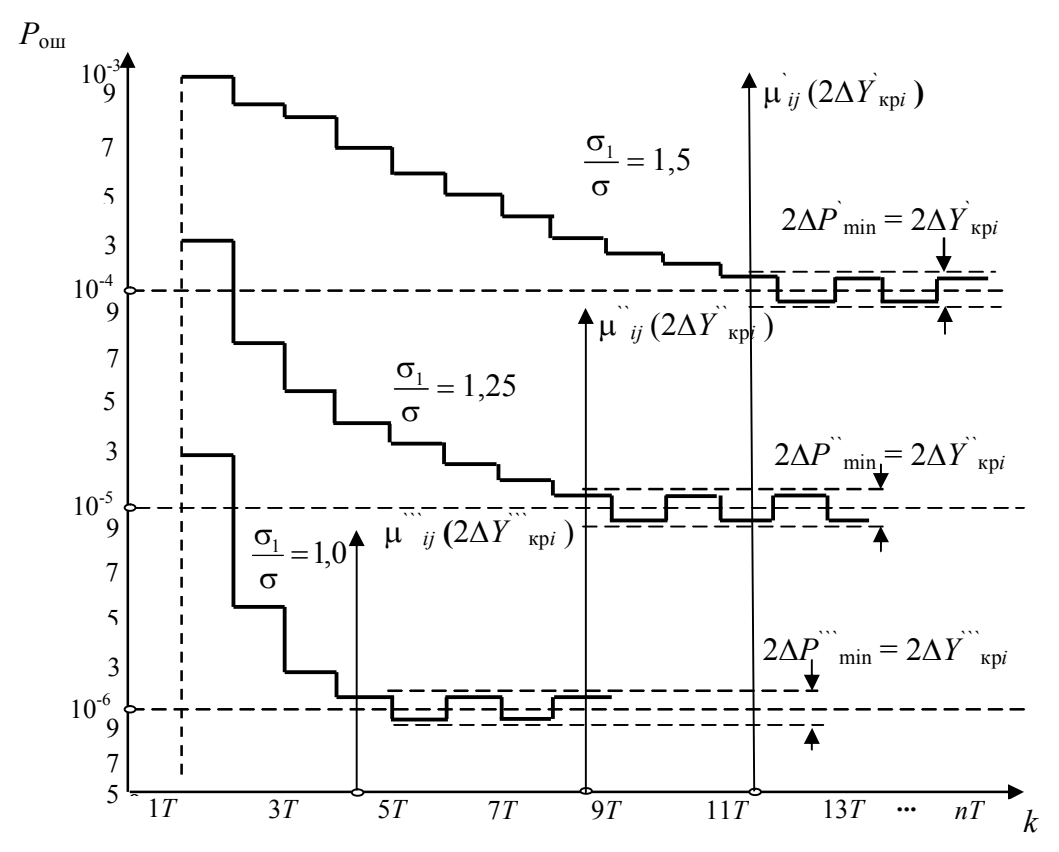


Рис. 2. Определение  $P_{\text{ош}}$  при адаптивном изменении уровня порога приемника и количества итераций k

**Применение численных методов минимакса**. Решение научной задачи начинается с рассмотрения поведения двух операторов прогноза [ $P_{\text{ош}}^{\text{апост}}(E, \sigma)$ ] и [ $P_{\text{ош}}^{\text{апост}}(E_0, \sigma_0)$ ] при малых отклонениях от точки контроля параметров с использованием численных методов минимакса. Для этого два оператора прогноза представляются в виде [1 – 5]:

$$\operatorname{minmax}\left[\left.P_{\text{om}}^{\text{anoct}}\left(E,\sigma_{0}\right) = P_{\text{om}_{0}}^{\text{anoct}}\left(E_{0},\sigma_{0}\right) + \frac{\partial P}{\partial E}\right|_{E_{0}} \left(\delta E\right) + \sum_{k=2}^{\infty} \frac{\partial^{k} P}{\partial E^{k}}\right|_{E_{0}} \left(\delta E\right)^{k}; \tag{2}$$

$$\operatorname{minmax}\left[\left.P_{\text{out}}^{\text{anoct}}\left(E,\sigma\right) = P_{\text{out}_{0}}^{\text{anoct}}\left(E_{0},\sigma_{0}\right) + \frac{\partial P}{\partial E}\bigg|_{\sigma_{0}}\left(\delta\sigma\right) + \sum_{k=2}^{\infty} \frac{\partial^{k} P}{\partial E^{k}}\bigg|_{\sigma_{0}}\left(\delta\sigma\right)^{k}\right],\tag{3}$$

где  $\left[\delta E\left(\left[\frac{I_{Z_{\rm Tp}}^{\rm o}}{I_{Z_{\rm Tp}}^{\rm a}}\right],\left[A_{{\rm Tp}\,{\rm PH}}^{{\rm anocr}}\right]\right)\right]$  — адаптивно регулируемые изменения операторов прогноза  $\left[E(\left[A_{{\rm Tp}\,{\rm PH}}^{{\rm anocr}}-{\rm тропосферного}\;{\rm сигнала}\right],\left[\beta_{{\rm Tp}\,{\rm PH}}^{{\rm anocr}}-{\rm угла}\;{\rm прихода}\;{\rm тропосферных}\;{\rm волн}\right])\right],\left[E_0(\left[I_{z\,{\rm Tp}_g}^{\rm o}-{\rm vertage}\right])\right]$ 

тропосферного фокального пятна облучателя радиоинтерферометра (РИ)], [ $I^{\rm a}_{z_{{
m rp}_{ij}}}$  — тропосфер-

ного фокального пятна антенны])] адаптивной антенны;  $[\delta\sigma([\frac{I_{z_{\text{ТР}}PU}}{I_{z_{\text{ТР}}PU}}, \beta_{\text{тр}}^{\text{апост}}])]$  – адаптивно контролируемые изменения операторов  $[\sigma([A_{\text{РИ}} - \text{тропосферного сигнала}], [\beta_{\text{тр}}^{\text{апост}} - \text{угла прихода тропосферных волн}])], <math>[\sigma_0([I_{z_{\text{тр}}y}^o] - \text{тропосферного фокального пятна облучателя}], [I_{z_{\text{тр}}y}^a] - \text{тропосферного фокального пятна антенны PИ]})] тропосферного фокального пятна облучателя адаптивной антенны [1; 3; 8].$ 

Применение теории адаптивного контроля чувстствительности приемника. Ограничиваясь линейным приближением в разложениях (2), (3), определяется чувствительность приемника по адаптивно контролируемому ([ $\theta_{\sigma}$ ]) и адаптивно регулируемому ([ $\theta_{E}$ ]) параметрам [1; 2], соответственно для мгновенных изменений операторов minmax[ $A_{\tau p \ PM}^{anocr}$ ]; [ $\beta_{\tau p \ PM}^{anocr}$ ], [ $I_{z_{\tau p y}}^{o}$ ], [ $I_{z_{\tau p y}}^{a}$ ], представленных такими выражениями согласно [1 – 10]

$$\left[\theta_{\sigma_0} \left( \Delta G_{\kappa, y \, PM}^{\text{anocr}} = \frac{I_{z_{\text{Tp}}}^{\text{o}}}{I_{z_{\text{Tp}}}^{\text{a}}} \right) = \frac{\partial P}{\partial E(V_{ij})} \bigg|_{\sigma_0} \right], \tag{4}$$

где  $[\theta_{\sigma_0}]$  — адаптивно контролируемая чувствительность приемника по величине потерь усиления адаптивной антенны;

$$\left[\theta_{E_0} \left( \Delta V_{\text{6. 3, M. 3}}^{\text{anoct}} = \frac{I_{Z_{\text{Tp}}}^{\text{o}}}{I_{Z_{\text{Tp}}}^{\text{a}}} \right) = \frac{\partial P}{\partial E(V_{ij})} \bigg|_{E_0} \right], \tag{5}$$

где  $[\theta_{E_0}]$  — адаптивно регулируемая чувствительность приемника по величине запаса на быстрые и медленные замирания сигнала в адаптивной антенне при условии, что выполняется равенство сигналов на выходе антенны и приемника:

$$\left[\left.\theta_{\sigma_0}\left(\Delta G_{\text{K, V PM}}^{\text{anocr}}\right)\right|_{\sigma_0}=\theta_{E_0}\left(\Delta V_{\text{6, 3, M, 3}}^{\text{anocr}}\right)\right|_{E_0}\right].$$

Это равенство математически выполняется, когда должна устраняться в режиме функционирования СЦТС методологическая разница между значениями операторов прогноза потерь усиления антенн  $[\Delta G_{\kappa,y\,PM}^{\rm anp}]$ ,  $[\Delta G_{\kappa,y\,PM}^{\rm anocr}]$ , операторов прогноза быстрых и медленных замираний сигнала  $[\Delta V_{6.3,\,\mathrm{M.3}}^{\rm ang}]$ ,  $[\Delta V_{6.3,\,\mathrm{M.3}}^{\rm anocr}]$  и их оценочными функциями по условиям их невырожденности и необходимой достаточности (4), (5) [1-5;8]. В этом случае на основании уравнений (4), (5) [1;6-10] справедливо равенство для численных методов минимакса, когда функционально связаны вероятность ошибки  $P_{\mathrm{out}}^{\mathrm{anocr}}$  и глобальный максимум  $\lambda_{\mathrm{max}}$  приема сигнала при предельной чувствительности приемника СЦТС  $\Delta E$ , которое выполняется при функционировании СЦТС

$$\min\max\{[P_{\text{out}}^{\text{affoct}}]\} = f([\lambda_{\text{max}}], [\Delta E]), \tag{6}$$

и выполняется согласно работ [1; 8] следующее равенство операторов:

$$\operatorname{minmax}[\Delta G_{\kappa, y \, PH}^{\text{anort}}([I_{z_{\tau_p \, PH}}^{\text{o}}])] = \operatorname{minmax}[\Delta V_{6.3, \, \text{M.}3}^{\text{anort}}([I_{z_{\tau_p \, PH}}^{\text{o}}])]. \tag{7}$$

Тогда теоретически условия адаптивного контроля по операторам [ $\theta_{\sigma}$ ] и [ $\theta_{E}$ ] согласно работ (6), (7) [1 – 10] таковы:

$$[\theta_{\sigma_0}(I_{z_{\text{Tp PM}}}^{\circ})] = \frac{1}{E_0(W_{ij})} \left( \frac{E_0(W_{ij})}{\sigma_0(\beta_{\text{Tp}})} \right)^3 \exp\left( -\frac{E_0^2(W_{ij})}{2\sigma_0^2(\beta_{\text{Tp}})} \right) = \left[ \frac{x_0^3}{E_0(W_{ij})} \exp\left( -\frac{x_0^2}{2} \right) \right]; \quad (8)$$

$$[\theta_{E_0}(I_{z_{\text{Tp PM}}}^{\circ})] = \frac{1}{E_0(V_i V_j)} \left( \frac{E_0(V_i V_j)}{\sigma_0(\beta_{\text{Tp}})} \right)^2 \exp\left( -\frac{E_0^2(V_i V_j)}{2\sigma_0^2(\beta_{\text{Tp}})} \right) = \left[ -\frac{x_0^2}{E_0(V_i V_j)} \exp\left( -\frac{x_0^2}{2} \right) \right], \quad (9)$$

где  $[x_0] = [E(A_{\text{тр РИ}}^{\text{апост}})] / [\sigma_0 (\beta_{\text{тр РИ}}^{\text{апост}})] = [Y_{\text{кр}_i}^{\text{апост}}]; W_{ij}$  — адаптивные весовые коэффициенты приемника СЦТС;  $V_i$  и  $V_j$  — адаптивные весовые коэффициенты адаптивной антенны СЦТС.

На основании выражений (2) – (9) адаптивные поправки к очередному значению порога приемника по адаптивно регулируемому оператору рассогласования контролируются следующим образом:

$$\left[\Delta E\left\{A\left(V_{i}V_{j}\right), \ \beta\left(W_{i}^{T}W_{j}^{T}\right)\right\} \cong \frac{\Delta P}{\theta_{E_{0}}} = \left[-E_{0} \frac{\Delta P}{x_{0}^{2} \exp\left(-x_{0}^{2}/2\right)}\right]\right]. \tag{10}$$

**Применение операторов прогноза**. Для малых значений (10) оператора  $[E_0[A_{\mathrm{тр}\,\mathrm{PM}}^{\mathrm{anocr}_0}],$   $\beta_{\mathrm{тр}\,\mathrm{PM}}^{\mathrm{anocr}_0}]]$  незначительная погрешность адаптивной установки порога приемника приводит к большим отклонениям оценки информационной надежности по оператору  $[P_{\mathrm{out}}^{\mathrm{anocr}}]$ . Поэтому в процессе адаптации оператор  $[P_{\mathrm{out}}^{\mathrm{anocr}}]$  на k-й итерации контролируется, как показано на рис. 2, в соответствии с контрольными мгновенными значениями операторов minmax  $[I_{z_{\mathrm{rp}_{j}}}^{\mathrm{o}}]$  и minmax  $[I_{z_{\mathrm{rp}_{j}}}^{\mathrm{a}}]$ , представленными оператором

minmax 
$$[P_{\text{out}_k}^{\text{anoct}} = \exp\left(-\frac{1}{2\sigma_1^2} \left(E_0(V_i V_j) + \sum_{i=1}^k \Delta E_i(W_i^T W_j^T)\right)^2\right)],$$
 (11)

где

$$\begin{cases} \Delta E_{i} [\Delta V_{\text{б. 3, м. 3}}^{\text{апост}}(V_{i}V_{j}), \ \Delta G_{\text{к. у РИ}}^{\text{апост}}(W_{i}^{T}W_{j}^{T})] = [\Delta P_{i-1} \ / \ \theta_{E_{i-1}}]; \\ = \Delta P_{i-1} \ / \ \theta_{E_{i-1}} = \frac{\Delta N_{i} (V_{i}V_{j}; \ W_{i}W_{j})}{N_{0} (V_{i}V_{j}; \ W_{i}^{T}W_{j}^{T}) \theta_{E_{i-1}} (A_{\text{тр. РИ}}^{\text{апост}})} \end{cases} - \quad \text{функциональная} \quad \text{зависимость}$$

адаптивно управляемой чувствительности приемника СЦТС от изменения одновременно двух операторов потерь усиления антенн [ $\Delta G_{\kappa,y\,PM}^{anp}$ ], [ $\Delta G_{\kappa,y\,PM}^{anocr}$ ] и двух операторов прогноза быстрых и медленных замираний сигнала [ $\Delta V_{6.3.,\,\mathrm{M.\,3}}^{anp}$ ], [ $\Delta V_{6.3.,\,\mathrm{M.\,3}}^{anocr}$ ], т. е. на выходе адаптивной антенны и адаптивного приемника СЦТС;

 $[\theta_{E_{i-1}}([A_{\mathrm{тр.\,PU}}^{\mathrm{anocr}}], [\beta_{\mathrm{тр.\,PU}}^{\mathrm{anocr}}])]$  — адаптивно контролируемый оператор при выполнении равенства  $[\sigma([\beta_{\mathrm{тр.}}])]=[\sigma_1([\beta_{\mathrm{тр.}}])].$ 

В этом случае количество шагов итерации k для адаптивной установки порога приемника по условию minmax  $\{[P_{\text{ош}}^{\text{anocr}}]\} = f([\lambda_{\text{max}}]; [\Delta E])$ , если minmax  $[\Delta G_{\text{к. у РИ}}^{\text{anocr}}([I_{z_{\text{тр РИ}}}^{\text{o}}])] = \min [\Delta V_{6.3, \text{м. 3}}^{\text{anocr}}([I_{z_{\text{тр РИ}}}^{\text{o}}])]$ , определяется выражением

$$\left[\sum_{i=1}^{k} \Delta E_{0}\left(A_{\text{тр. PM}}^{\text{anoct}}\right) \approx E_{1}\left(\frac{I_{z_{\text{тр.}}}^{o}}{I_{z_{\text{тр.}}}^{a}}, A_{\text{тр. PM}_{1}}^{\text{anoct}}\right) - E_{0}\left(\frac{I_{z_{\text{тр.}}}^{o}}{I_{z_{\text{тр.}}}^{a}}, A_{\text{тр. PM}_{0}}^{\text{anoct}}\right) = E_{0}\left(\frac{\sigma_{1}\left(\beta_{\text{тр. PM}_{1}}^{\text{anoct}}\right)}{\sigma\left(\beta_{\text{тр. PM}_{0}}^{\text{anoct}}\right)} - 1\right)\right]. \tag{12}$$

Уточненные результаты оценки адаптивного управления по оператору  $[P_{\text{ош}}^{\text{апост}}]$  с помощью рекуррентного алгоритма адаптации (12) представлены на рис. 2. При технической реализации этого алгоритма были учтены конкретные виды законов изменения тропосферных сигналов (законы Релея, Райса, Накагами, трехпараметрический закон, законы усеченно-нормальный и логарифмически-нормальный). Значения адаптивно регулируемого оператора  $[\theta_E]$  записываются в постоянное запоминающее устройство СЦТС [1-5;7-10] для обеспечения точности регулирования.

**Применение** двухконтурной обработки сигналов. Контроль одновременной обработки сигнала на выходе антенны и приемника с помощью двух операторов прогноза требует наличия двух контуров адаптации для одновременного контроля и определения равенства двух операторов

При этом весовые векторы-коэффициенты  $\{V_i \ V_j\}$  первого контура адаптации определяют начальный базис-матрицу пространственно-временных каналов разнесения

(ПВКР) с весовыми коэффициентами 
$$[W_{Ki}]$$
 одновременно по операторам  $[\delta E([\frac{I_{z_{\text{тр.}}}^{\circ}}{I_{z_{\text{тр.}}}^{a}}];[A_{\text{тр.}}^{\text{anoct}}])]$ 

адаптивной антенны и операторам [ 
$$\delta\sigma([\frac{I_{z_{\text{тр РИ}}}^{o}}{I_{z_{\text{тр РИ}}}^{a}},\beta_{\text{тр РИ}}^{\text{апост}}])$$
 ] облучателя адаптивной антенны [1; 3; 8].

Это позволяет на выходе приемника контролировать законы распределения быстрых и медленных замираний сигнала, представленные на рис. 3 и 4 с большой степенью точности. Такая точность обеспечивается с помощью контроля тропосферного фокального пятна облучателя [  $I_{z_{\text{тр}_{ii}}}^{\text{o}}$  ] и тропосферного фокального пятна антенны  $I_{z_{\text{тр}_{ii}}}^{\text{a}}$  ].

При тропосферном распространении радиоволн рассматривается такое явление, как мгновенное изменение диаграммы направленности антенн. Поэтому рассматриваются

мгновенные значения операторов  $\min \max[I_{z_{\text{тр}_{ij}}}^{\text{o}}]$  и  $\min \max[I_{z_{\text{тр}_{ij}}}^{\text{a}}]$ , представленные выражением (11) и на рис. 5.

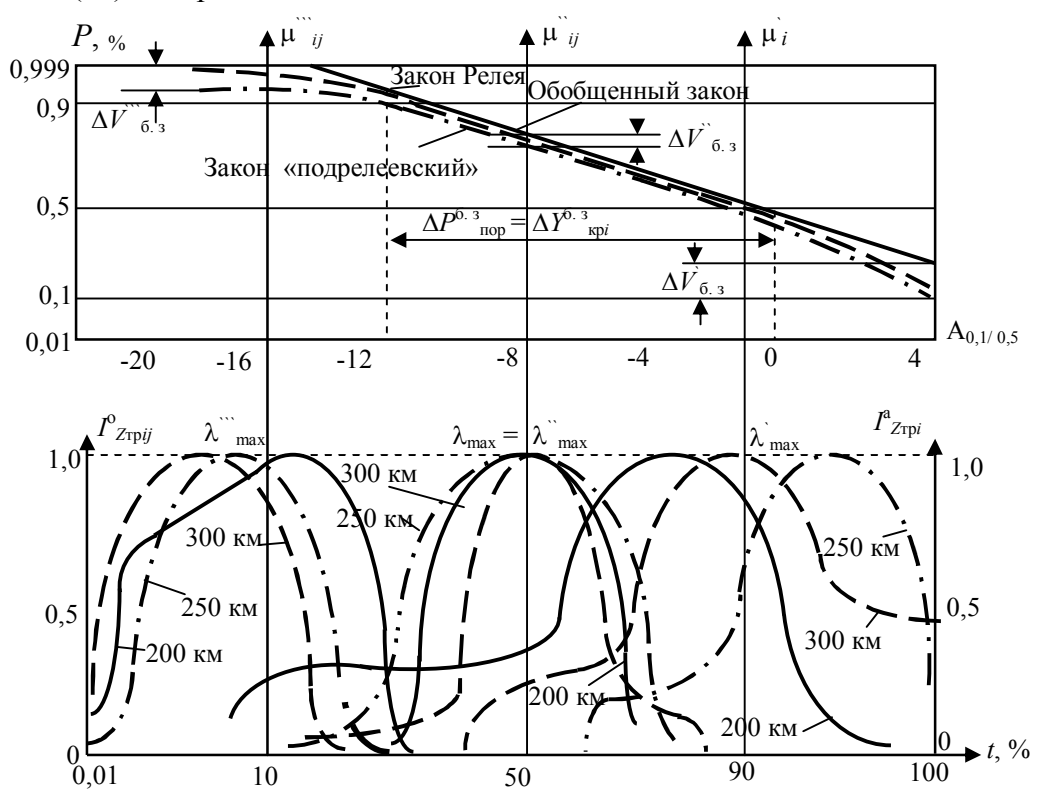


Рис. 3. Определение законов распределения быстрых замираний сигнала  $\Delta V_{\rm 6.3}$  для СЦТС с адаптивной антенной

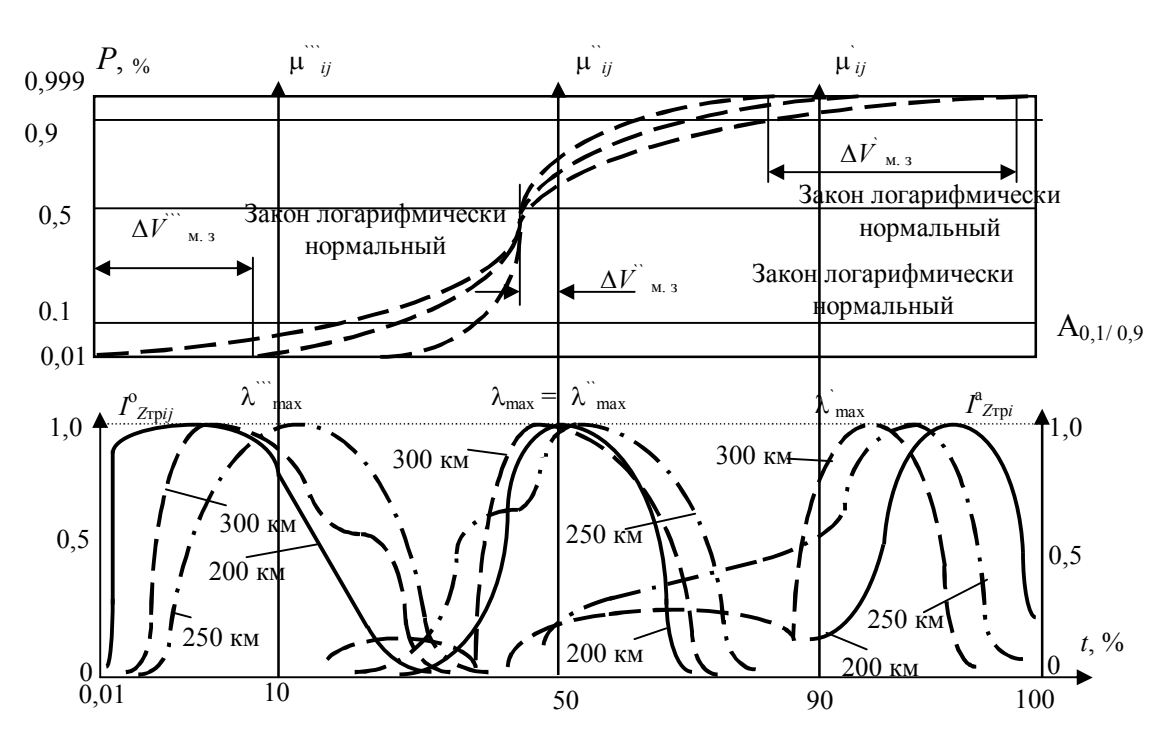


Рис. 4. Определение законов распределения медленных замираний сигнала  $\Delta V_{\text{м. 3}}$  для образца СЦТС с адаптивной антенной

Совмещенные законы мгновенных распределений быстрых и медленных замираний  $\Delta V_{\rm 6.3, \, M.3}$  в СЦТС с адаптивной антенной, которая позволяет за счет использования двух контуров адаптации одновременно контролировать и управлять законами мгновенного распределения быстрых и медленных замираний и потерями коэффициента усиления антенн проиллюстрированны на рис. 5 [4 – 8].

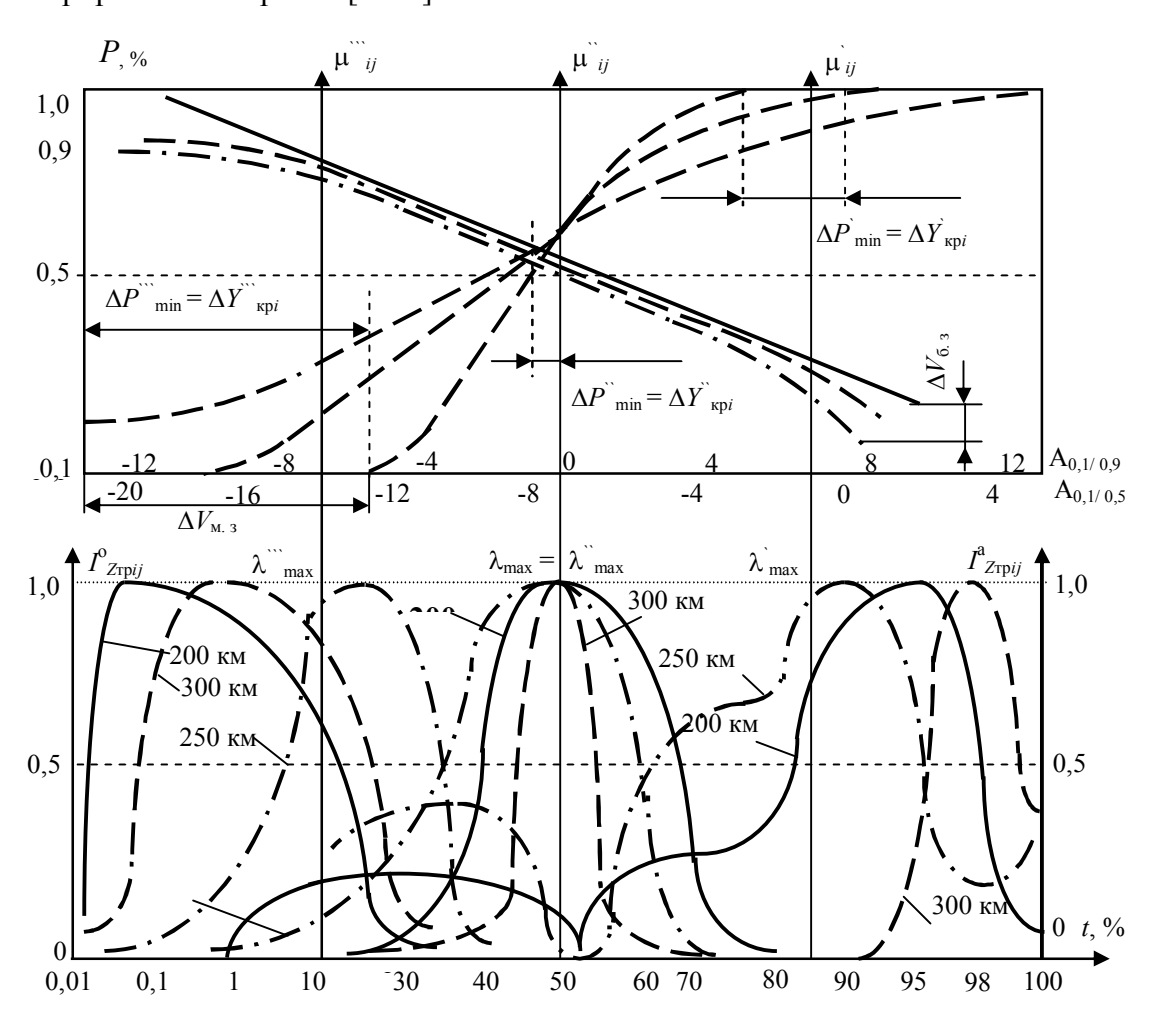


Рис. 5. Определение изменения законов распределения  $\Delta V_{\rm 6.3,\,M.\,3}$  по «мгновенному» изменению  $I_{z_{{
m TD},i}}^{
m o}$  и  $I_{z_{{
m TD},i}}^{
m a}$  в адаптивной антенне

Совмещенные законы мгновенных распределений быстрых и медленных замираний  $\Delta V_{6.3, M.3}$  и потерь усиления антенн в СЦТС с адаптивной антенной при двухконтурной обработке сигналов для трех режимов функционирования приемника «линейное сложение», «оптимальное сложение», «автовыбор», что позволяет за счет использования двух контуров адаптации одновременно контролировать и управлять законами мгновенного распределения быстрых и медленных замираний и потерями коэффициента усиления антенн в трех режимах функционирования СЦТС одновременно показаны на рис. 6 [4 – 10].

**Применение рекуррентного адаптивного алгоритма**. В соответствии с двухконтурной обработкой сигналов первый рекуррентный адаптивный алгоритм контроля адаптивной чувствительности приемника в первом контуре адаптации реализуется при равенстве операторов

$$Z_{Y}^{\text{anp}}[\text{maxmin}\Delta G_{K, VPM}^{\text{anp}}(I_{\text{Tp PM}}^{\text{aanp}}, I_{\text{Tp PM}}^{\text{o}})] = Z_{Y}^{\text{anocr}}[\text{maxmin}\Delta^{K}G_{K, VPM}^{\text{a}_{\Pi, \text{anocr}}}(I_{\text{Tp PM}}^{\text{a}_{\Pi, \text{orocr}}}, I_{\text{Tp PM}}^{\text{o}_{\text{anocr}}})].$$

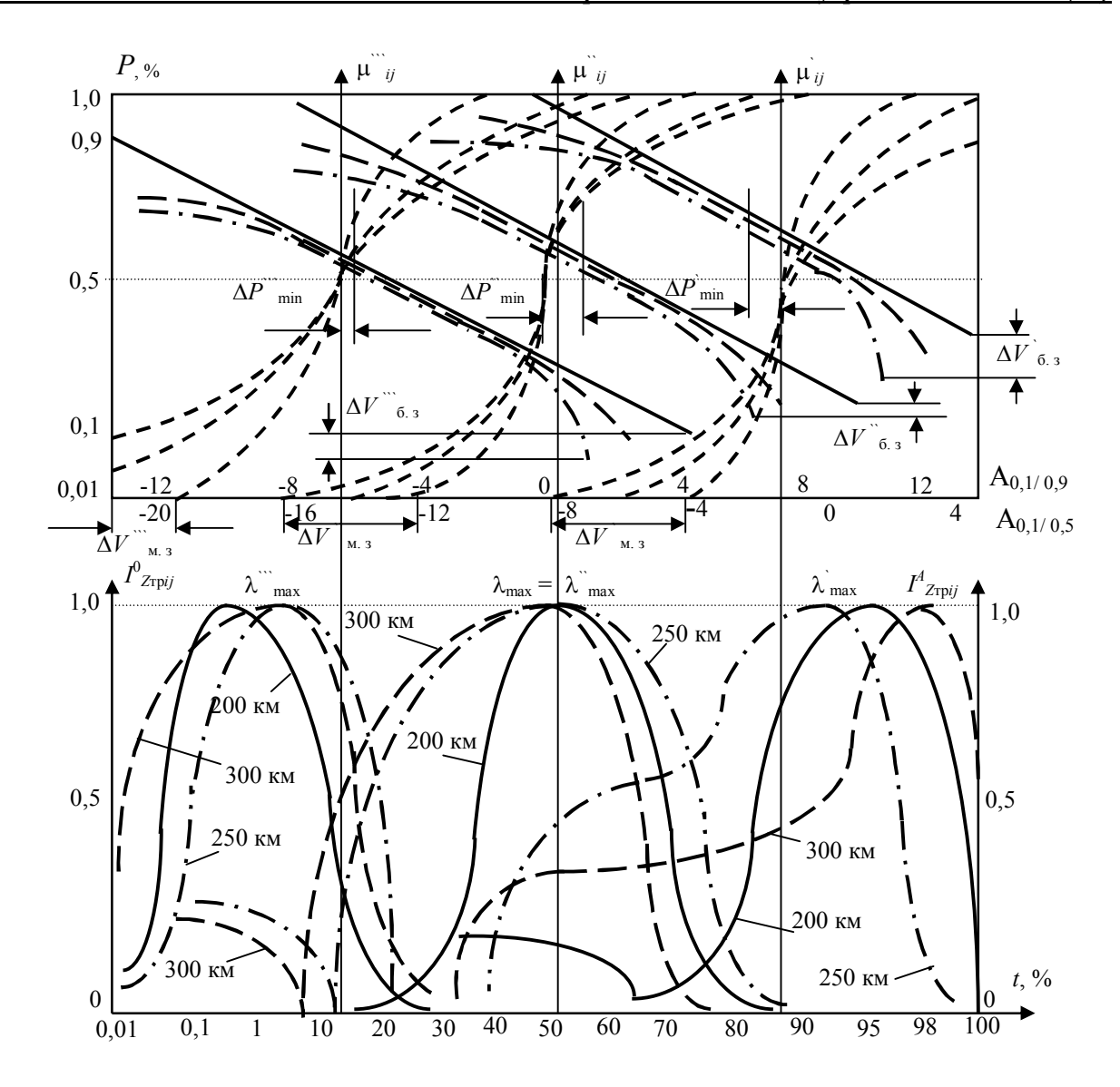


Рис. 6. Определение изменения уровня порога приемника  $\Delta P_{\text{мин}}$  в зависимости от законов изменения  $\Delta V_{\text{б. 3, м. 3}}$  и  $I_{z_{\text{тр}jj}}^{\text{o}}$  и  $I_{z_{\text{тр}jj}}^{\text{a}}$ 

Величина апостериорной предельной чувствительности приемника [minmax  $\Delta E_i^{\text{anoct}}$ ] определяется регулируемыми параметрами адаптации ( $\theta_{\sigma}$ ) и ( $\theta_E$ ) во втором контуре адаптации согласно второму рекуррентному адаптивному алгоритму одновременно с использованием весовых коэффициентов { $V_i$ ,  $V_j$ } в первом контуре адаптации, что позволяет определить изменение законов апостериорного распределения быстрых и медленных замираний сигналов при TPP при равенстве операторов:

$$Z_{X}^{\text{anp}}[\text{maxmin}\{\Delta V_{\text{6.3, M.3}_{i}}^{\text{anp}}(\mathbf{A}_{\text{тр PW}}^{\text{anp}}, I_{\text{тр PW}}^{\text{a}_{\text{anp}}}, I_{\text{тр PW}}^{\text{o}_{\text{anp}}})\}] = Z_{X}^{\text{anoct}}[\text{maxmin}\{\Delta V_{\text{6.3, M.3}_{i}}^{\text{anoct}}(\mathbf{A}_{\text{тр PW}}^{\text{anoct}}, I_{\text{тр PW}}^{\text{a}_{\text{anoct}}}, I_{\text{тр PW}}^{\text{o}_{\text{anoct}}})\}].$$

**Применение теории оптимального приема**. Если изменение законов апостериорного распределения сигнала контролируется равенством операторов

$$Z_{Y}^{\text{anoct}}[\max\min\{\Delta G_{\kappa,\,y\,\text{PM}}^{\text{anoct}}\}] = Z_{X}^{\text{anoct}}[\max\min\{\Delta V_{6,\,3,\,\text{M. 3}}^{\text{anoct}}(\mathbf{A}_{\text{Tp}\,\text{PM}}^{\text{anoct}})\}],$$

то для СЦТС каждый итерационный шаг определяет оптимальный уровень сигнала при ТРР

по изменению оператора прогноза по показателю  $\Theta_{\text{пок}}$  (эффективность контроля)

$$[[\Theta_{\text{nok}_i}^{\text{ont}}] = [\text{maxmin}\{\Theta_{\text{nok}_i}^{\text{ort}}(X_{ni} / A_{\text{TD PM}_i}^{\text{anoct}}); Y_{\text{KD}_i}; \sigma_i^{\text{anoct}}; \Delta T_i = \text{const}\}].$$

$$[\max\min\{P_{\scriptscriptstyle{\Pi.\,\text{uH}}}^{\scriptscriptstyle{\text{anoct}}}\}] = f(Y_{\scriptscriptstyle{\text{Kp}_{ii}}} = [Y_{\scriptscriptstyle{\text{Kp}_{ii}}}^{\scriptscriptstyle{\text{anoct}}}],\ P_{\scriptscriptstyle{\text{oII}}_{ii}} = [\max\min P_{\scriptscriptstyle{\text{oIII}},\,\min}^{\scriptscriptstyle{\text{anoct}}}])$$

и новые значения величин  $[W_{K_i}]$  и  $[\Delta \Theta_{\mathrm{nok}_{ij}}^{\mathrm{ont}}]$ , а функционал оптимального управления представляется оператором

$$[\overline{\partial}_{\text{nok}_{ij}}^{\text{ont}} = (\overline{W}_{1}^{\text{T}} X_{n} / A_{\text{тр РИ}_{i}}^{\text{anoct}} - \Delta \overline{T}_{ij} Y_{\text{кр}_{i}}^{\text{anoct}} \overline{W}_{2}^{X} X_{\sigma, E})],$$

где  $\overline{W}_1^{\rm T}$  — транспонированный вектор-столбец весовых коэффициентов тропосферных сигналов в первом контуре адаптации размерностью  $\{V_i \times V_j\}$ ;  $\overline{W}_2^X$  — матрица весовых коэффициентов тропосферных сигналов в РИ размерностью  $\{V_i \times V_j\}$  во втором контуре адаптации;  $[\overline{W}_1^{\rm T} X_{ni} / \Lambda_{{\rm тp.PH}_{ij}}^{{\rm anocr}}]$  — среднее за время адаптации  $\Delta \tau_{\rm ag}$  (время селективных замираний) значение суммарного тропосферного сигнала во втором контуре адаптации согласно изменению X,  $\sigma_i E(\mu_1, \mu_2, \mu_3)$  [1—4; 8—10].

**Применение пространственно-временного разнесения сигналов**. Алгоритм оптимального подключения пространственно-временных каналов разнесения (ПВКР) с адаптивным контролем и управлением сигнала по служебным каналам СЦТС имеет такую последовательность операций: начало итерации — к весовому вектору-коэффициенту  $W_K$  прибавляется случайное приращение  $\Delta W_{K_i}$ , которое определяется критериями максимального отношения сигнал/шум (МОСШ) и ПЧП.

Случайное приращение  $\Delta W_{K_i}$  контролируется с помощью априорных и апостериорных операторов

$$\begin{split} Z_{X}^{\text{anp}}[\text{maxmin}\{\Delta V_{\text{6.3,M.3}_{i}}^{\text{anp}}(\mathbf{A}_{\text{Tp PM}}^{\text{anp}},\ I_{\text{Tp PM}}^{\text{a}_{\text{anp}}},\ I_{\text{Tp PM}}^{\text{o}_{\text{anp}}})\}];\\ Z_{X}^{\text{anoct}}[\text{maxmin}\{\Delta V_{\text{6.3,M.3}_{i}}^{\text{anoct}}(\mathbf{A}_{\text{Tp PM}}^{\text{anoct}},\ I_{\text{Tp PM}}^{\text{a}_{\text{anoct}}},\ I_{\text{Tp PM}}^{\text{o}_{\text{anoct}}})\}], \end{split}$$

а также их оценочных функций

$$\Delta V_{\text{6.3, M.3}}^{\text{anp}}(A_{\text{тр PM}}^{\text{anp}},\,I_{\text{тр PM}}^{\text{a}_{\text{anp}}},\,I_{\text{тр PM}}^{\text{o}_{\text{anp}}}),\,\, \Delta V_{\text{6.3, M.3}}^{\text{anoct}}(A_{\text{тр PM}}^{\text{anoct}},\,I_{\text{тр PM}}^{\text{a}_{\text{anoct}}},\,I_{\text{тр PM}}^{\text{o}_{\text{anoct}}});\\ \Delta G_{\text{K. V PM}}^{\text{anp}}(I_{\text{тр PM}}^{\text{a}_{\text{anp}}},\,I_{\text{тр PM}}^{\text{o}_{\text{anp}}},\,A_{\text{тр PM}}^{\text{anp}}),\,\, \Delta G_{\text{K. V PM}}^{\text{a}_{\text{Adamp}}}(I_{\text{тр PM}}^{\text{a}_{\text{anp}}},\,I_{\text{тр PM}}^{\text{o}_{\text{anp}}},\,A_{\text{тр PM}}^{\text{anp}}),$$

определяющихся требованиями достаточности и невырожденности с помощью равенства комбинаторных пар операторов

$$\begin{split} Z_{X}^{\text{anp}}[\text{maxmin}\Delta V_{\text{6.3, M.3}}^{\text{anp}}(\mathbf{A}_{\text{тр PM}}^{\text{anp}},\ I_{\text{тр PM}}^{\text{anp}},\ I_{\text{тр PM}}^{\text{oanp}})] &= Z_{Y}^{\text{anp}}[\text{maxmin}\Delta G_{\text{к. y PM}}^{\text{anp}}(I_{\text{тр PM}}^{\text{aanp}},\ I_{\text{тр PM}}^{\text{oanp}},\ \mathbf{A}_{\text{тр PM}}^{\text{anp}})]\,; \\ Z_{X}^{\text{anp}}[\text{maxmin}\Delta V_{\text{6.3, M.3}}^{\text{anp}}(\mathbf{A}_{\text{тр PM}}^{\text{anp}},\ I_{\text{тр PM}}^{\text{aanp}},\ I_{\text{тр PM}}^{\text{oanp}})] &= Z_{X}^{\text{anoct}}[\text{maxmin}\Delta V_{\text{6.3, M.3}}^{\text{anoct}}(\mathbf{A}_{\text{тр PM}}^{\text{anoct}},\ I_{\text{тр PM}}^{\text{oanper}})]\,; \\ Z_{X}^{\text{anot}}[\text{maxmin}\Delta V_{\text{6.3, M.3}}^{\text{anop}}(\mathbf{A}_{\text{тр PM}}^{\text{anop}},\ I_{\text{тр PM}}^{\text{aanper}},\ I_{\text{тр PM}}^{\text{oanper}})] &= Z_{Y}^{\text{anoct}}[\text{maxmin}\Delta G_{\text{к. y PM}}^{\text{adapp}}(I_{\text{тр PM}}^{\text{aanper}},\ I_{\text{тр PM}}^{\text{oanper}},\ A_{\text{тр PM}}^{\text{anoct}})]\,; \\ Z_{X}^{\text{anoct}}[\text{maxmin}\Delta V_{\text{6.3, M.3}}^{\text{anoct}}(\mathbf{A}_{\text{тр PM}}^{\text{anoct}},\ I_{\text{тр PM}}^{\text{aanoct}},\ I_{\text{тр PM}}^{\text{oanoct}},\ I_{\text{Tр PM}}^{$$

Тогда изменение оператора [ $\Delta \Theta_{\text{пок}_i}^{\text{опост}}$ ] характеризует оптимальный информационный оператор надежности [ $P_{\text{л. инф}}^{\text{опт}}$ ], который определяет изменение оценочной информационноцелевой функции по условию [ $\max\{P_{\text{л. инф}}^{\text{опт}}(P_{\text{ош. опт}}^{\text{апост}})\}$ ] на рис. 7 следующим образом.

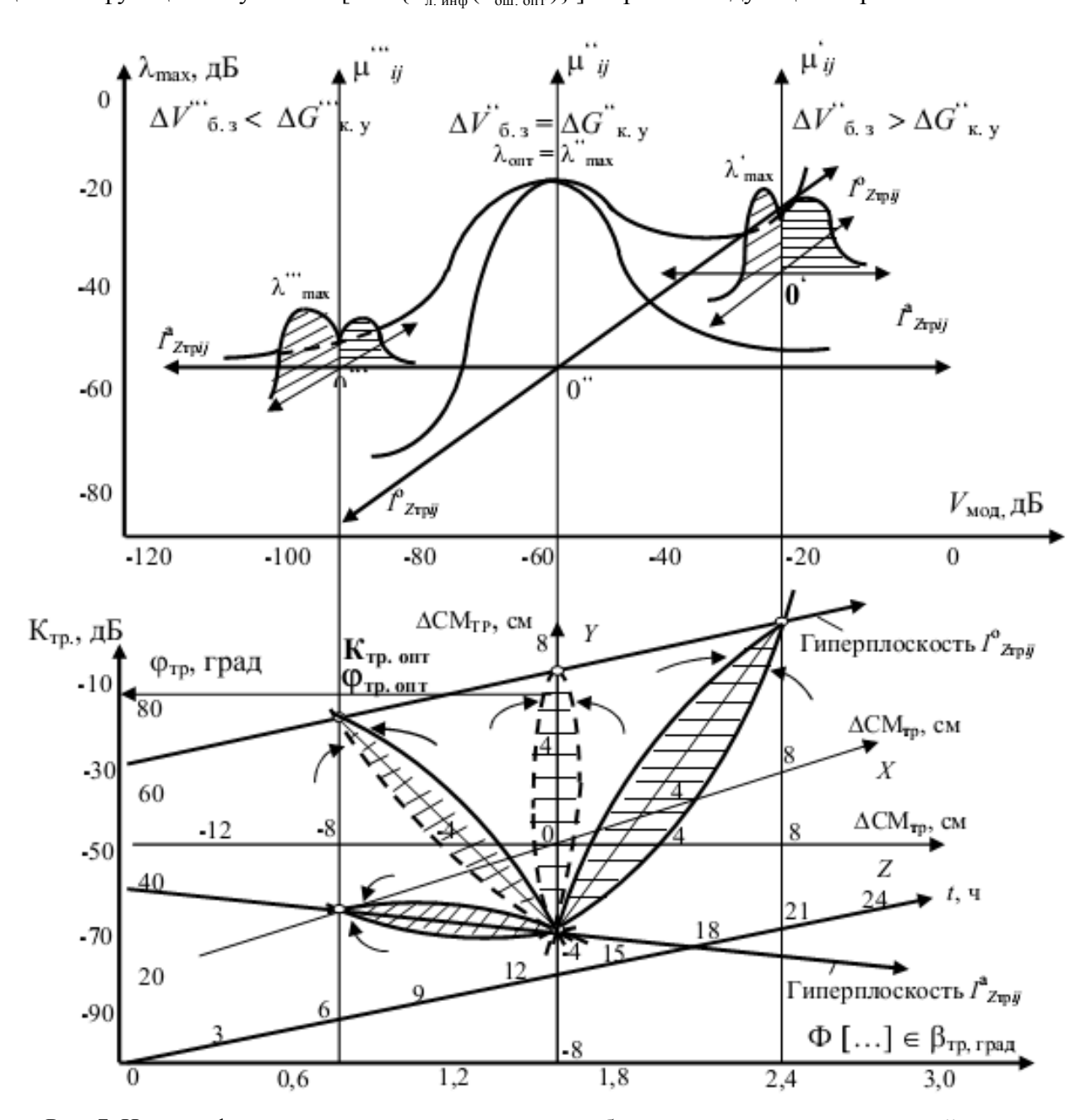


Рис. 7. Целевая функция адаптивного компенсатора быстрых и медленных замираний сигнала

Пропорционально изменению произведения апостериорных операторов [ $\Delta \Theta_{\text{пок}i}W_{Ki}$ ] определяется новое значение [ $\Delta W_{Ki+1}$ ] из выражения для значения нового весового вектора-коэффициента

$$W_{K_{i+1}} = W_{K_i} + \mu_S \left\{ \Theta_{\text{nok}_i}^{\text{anoct}} \left[ W_{K_i} \right] - \Theta_{\text{nok}_i}^{\text{anoct}} \left[ W_{K_i} + \Delta W_{K_i} \right] \right\} \Delta W_{K_i}, \qquad (13)$$

где  $\Delta W_{K_i}$  — приращение МОСШ и ПЧП в контурах адаптации для разных законов распределения сигналов (13);  $\mu_s$  и  $\sigma_i^2$  — величины, обеспечивающие устойчивость и достаточную скорость сходимости итерационных циклов по изменению оператора ПЧП (minmax  $\Delta E_o^{\rm anoct}$ ) и максимума апостериорного оператора информационной надежности образца СЦТС [ max min{ $P_{\rm n...\, uh\phi}^{\rm out}$  ( $P_{\rm out}^{\rm anoct}$  =  $P_{\rm out.\, ont}^{\rm anoct}$ )} ] согласно рис. 7.

Оптимальное изменение апостериорного оператора [ $\max \Delta \Im_{nok_i}$ ] определяется в результате:

— приращения  $\left[\Delta W_{K_i} + W_{K_i}\right]$ 

$$[\exists_{\text{nok}_{i}}^{\text{anoct}} = \exists_{\text{nok}_{i}}^{\text{anoct}} [W_{K_{i}} + \Delta W_{K_{i}}] - \exists_{\text{nok}_{i}}^{\text{anoct}} [W_{K_{i}}]];$$

$$(14)$$

– изменения оцениваемых оптимальных апостериорных операторов (14) [  $\max \Delta 3^{\text{anoct}}_{\text{nok}}$  ]

$$\left[\Delta \overline{\mathfrak{I}}_{\mathsf{nok}_{i}}^{\mathsf{anocr}} \stackrel{\Delta}{=} \overline{\mathfrak{I}}_{\mathsf{nok}_{i}}^{\mathsf{anocr}} \left[W_{K_{i+1}} + \Delta W_{K_{i+1}}\right] - \overline{\mathfrak{I}}_{\mathsf{nok}_{i}}^{\mathsf{anocr}} \left[W_{K_{i+1}}\right]\right]; \tag{15}$$

– ошибки в оценке оптимального апостериорного оператора (15) [  $\max \Delta \Theta_{\text{пок.}}$ ]

$$\left[\gamma_{K_{i}} \stackrel{\Delta}{=} \Delta \mathfrak{I}_{\text{nok}_{i}}^{\text{orr}} - \Delta \overline{\mathfrak{I}}_{\text{nok}_{i}}^{\text{orr}}\right], \tag{16}$$

- дисперсии этой ошибки согласно (16)

$$\operatorname{var}\left[\gamma_{K_{i}}\right]^{\Delta} = \operatorname{var}\left[\left(\Delta \overline{\Im}_{\operatorname{nok}_{i}}^{\operatorname{ont}}\right)\right] - \operatorname{var}\left\{\overline{\Im}_{\operatorname{nok}_{i}}^{\operatorname{ont}}\left[W_{K_{i}} + \Delta W_{K_{i}}\right]\right\} + \operatorname{var}\left\{-\overline{\Im}_{\operatorname{nok}_{i}}^{\operatorname{ont}}\left[W_{K_{i}}\right]\right\}. \tag{17}$$

**Результаты исследования**. Результаты исследования согласно (17) приведены на рис. 7. Они представляют оптимальные тактико-технические характеристики СЦТС с адаптивным компенсатором быстрых и медленных замираний сигнала и потерь усиления антенн при случайных выборках направления поиска, что позволяет адаптивно контролировать чувствительность приемника. Длина шага поиска находится по максимуму оценочной целевой функции  $\mathfrak{P}_{\text{пок.}}^{\text{опт.}}$  образца СЦТС.

В режиме функционирования адаптивного компенсатора сигналы ответвляются в каналы сопряжения антенны с приемником первого контура адаптации с основным процессором, которые состоят из согласующих устройств, видеоусилителя и двухвходового компаратора. Сигналы в приемниках ответвляются из тропосферного модема и подаются в каналы приема второго контура адаптации, состоящие из согласующих устройств и цифрового измерителя отношения сигнал/шум [1-7].

В процессе контроля сигналов по каналам сопряжения антенны с приемником по критерию МОСШ определяется оператор  $[K_{\text{тр. изм}}]$  и сравнивается с оператором  $[K_{\text{тр. расч}}]$  в ПЗУ, в устройстве сумматора на вычитание  $(-\sum)$ .

При этом сигнал рассогласования индицируется и запоминается [1-10]. При их совпадении маркер согласования в ПЗУ запускает схемы: «линейное сложение», «оптимальное сложение», «автовыбор» [1; 5; 8; 10]. Производится поиск глобального максимума целевого функционала, представленного на рис. 7.

В результате определяется информационная надежность образца СЦТС с помощью апостериорных процедур по операторам прогноза согласно рис. 4, 5. При этом максимум информационной надежности образца СЦТС соответствует операторам прогноза

 $\min\max\{P_{\text{ош}}^{\text{апост}}\}\ ], \quad \min\max\left[\Delta G_{\text{к. у РИ}}^{\text{апост}}\left(\left[I_{Z_{\text{тр}ij}}^{\text{o}}\right],\left[I_{Z_{\text{тр}ij}}^{\text{a}}\right]\right)\right]$ и  $\min\max\left[\Delta V_{\text{б. 3}}^{\text{апост}}\left(\left[I_{Z_{\text{тр}ij}}^{\text{o}}\right],\left[I_{Z_{\text{тр}ij}}^{\text{a}}\right]\right)\right], \quad \text{что} \quad \text{соответствует} \quad \text{адаптивно} \quad \text{контролируемой}$  чувствительности приемника, определяющейся с помощью рис. 9.

Дополнительный процессор во втором контуре адаптации определяет законы распределения уровней сигналов с параметрами m,  $\sigma$ , R(x) по операторам прогноза  $\min \max \left[ \Delta V_{6.3}^{\text{anocr}} \left( \left[ I_{Z_{\text{тр}ij}}^{\text{o}} \right], \left[ I_{Z_{\text{тр}ij}}^{\text{a}} \right] \right) \right]$ ,  $\min \max \left[ \Delta V_{\text{м. 3}}^{\text{anocr}} \left( \left[ I_{Z_{\text{тр}ij}}^{\text{o}} \right], \left[ I_{Z_{\text{тр}ij}}^{\text{a}} \right] \right) \right]$  и изменению интенсивности тропосферных фокальных пятен облучателя, антенны РИ и чувствительности приемника по операторам  $\min \max \left[ \Delta G_{\kappa, y}^{\text{anocr}} \left( \left[ I_{Z_{\text{тр}ij}}^{\text{o}} \right], \left[ I_{Z_{\text{тр}ij}}^{\text{a}} \right] \right) \right]$  согласно рис. 8, 9. Сигнал рассогласования запоминается с перезаписью параметров m,  $\sigma$ , R в перепрограммируемом постоянном устройстве по условию

$$\operatorname{minmax} \left\lceil \Delta G_{\text{\tiny K. y PM}}^{\text{\tiny anoct}} \left( I_{Z_{\text{\tiny Tp PM}}}^{\text{\tiny o}} \right) \right\rceil = \operatorname{minmax} \left\lceil \Delta V_{\text{\tiny 6. 3, M. 3}}^{\text{\tiny anoct}} \left( I_{Z_{\text{\tiny Tp PM}}}^{\text{\tiny o}} \right) \right\rceil.$$

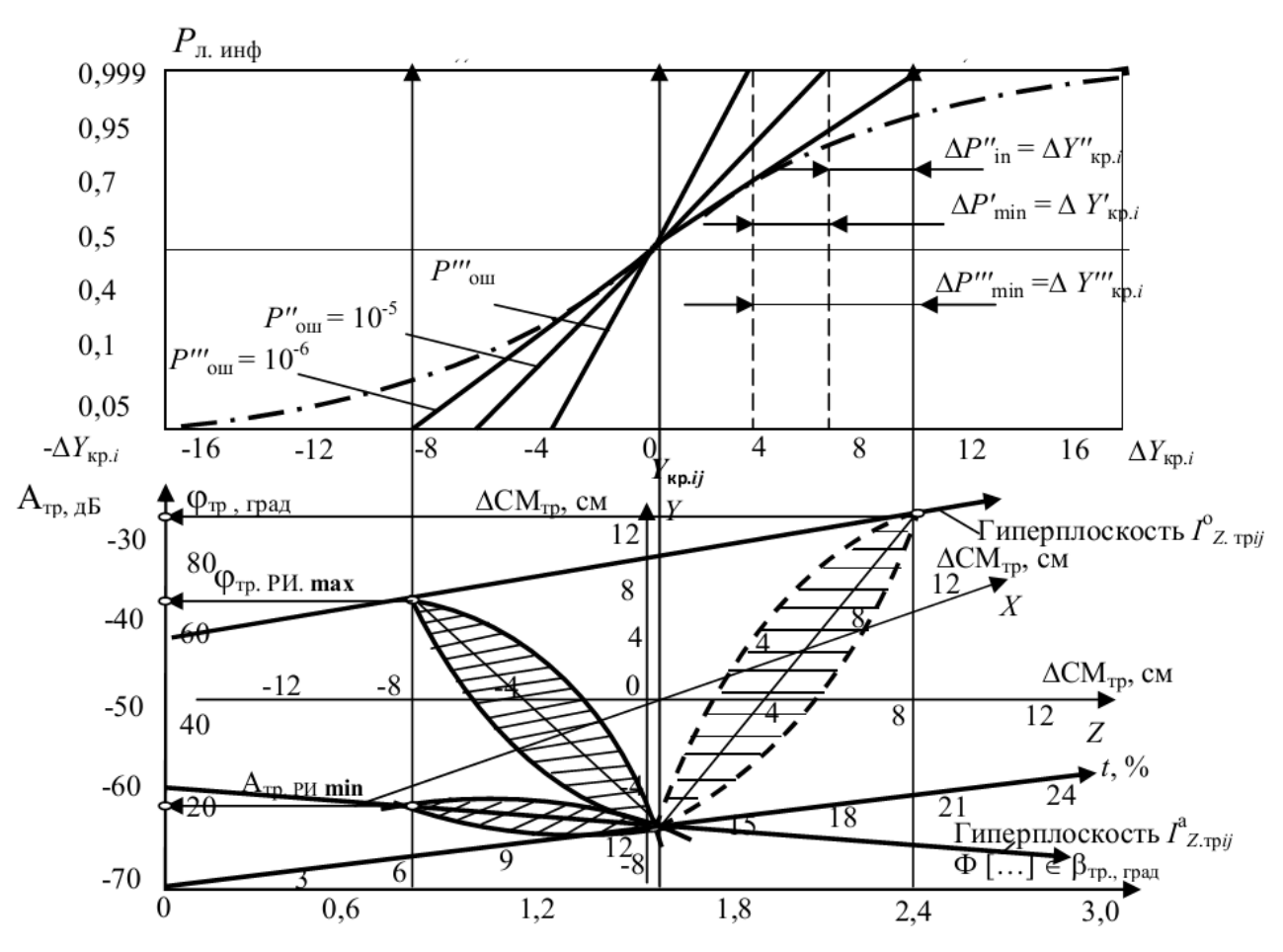


Рис. 8. Определение  $P_{\text{л. инф}}$ ,  $P_{\text{ош}}$  образца СЦТС при адаптивной регулировке  $\Delta Y_{\text{кр}i}$  ( $A_{\text{тр}}$ ,  $\phi_{\text{тр}}$ ,  $I^{0}_{\text{Zтр}ij}$ ,  $I^{a}_{\text{тр}ij}$ )

При совпадении контрольных уровней сигналов маркер согласования запускает схему включения режимов: «линейное сложение», «оптимальное сложение», «автовыбор» и «адаптивный автовыбор» согласно максимума информационного функционала (рис. 7). В результате определяется информационная надежность образца СЦТС по оператору

 $[P_{_{\rm л.\,инф.\,опт.}}^{_{
m anocr}}]$ , значение которого и чувствительность приемника контролируются постоянно. Информационная надежность образца СЦТС соответствует

$$[\min\max\{P_{\text{our}}^{\text{anoct}}\}] = f([\lambda_{\text{max}}], [\Delta E]),$$

если  $\operatorname{minmax}[\Delta G_{\kappa, \gamma \, \text{PM}}^{\text{апост}}(I_{Z \, \text{тр} \, \text{PM}}^{\text{o}})] = \operatorname{minmax}[\Delta V_{6. \, 3, \, \text{M. 3}}^{\text{апост}}(I_{Z \, \text{тр} \, \text{PM}}^{\text{o}})].$ 

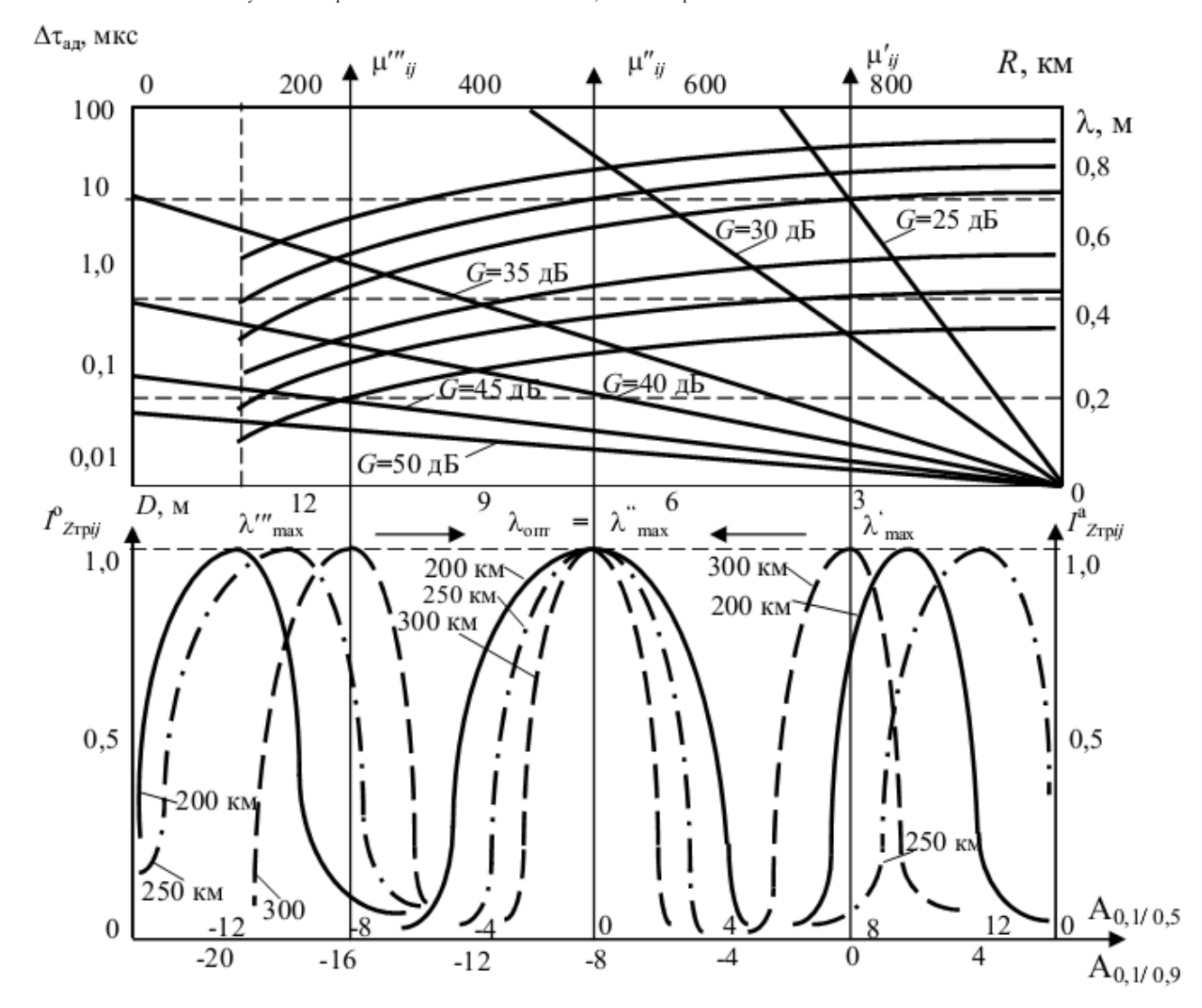


Рис. 9. Определение чувствительности приемника по среднему времени адаптации  $\Delta \tau_{\text{ад}}$  в образце СЦТС

Реализация указанных свойств процессоров в контурах адаптации возможна только при полной идентичности каналов сопряжения антенн с приемником [1; 2]. Оценка функционирования адаптивного компенсатора быстрых и медленных замираний сигналов, а также потерь усиления антенн в образцах СЦТС выполнена с учетом следующих параметров: максимального отношения сигнал/шум; минимума дисперсии шумов квантования; минимума шумов на выходе каналов сопряжения антенн с приемником [1-7].

Проверка информационной надежности образца СЦТС с адаптивным компенсатором осуществляется согласно выражению

$$\left[\Delta G_{\text{K. y PM}}^{\text{anoct}} = \frac{\alpha_{\text{Tek}}(\beta_{\text{Tp PM}}^{\text{anoct}})}{\alpha_{\text{max}}(\beta_{\text{Tp}}^{\text{anoct}})} G_{\text{PM}} \cdot 10^{-K}\right], \tag{18}$$

где  $[K = \frac{P_{\rm np}(Y_{\rm kp_i}^{\rm anoct}) - P_{\rm изм}(Y_{\rm kp_i}^{\rm anp})}{10}]$  — изменение ПЧП образца;  $[\alpha_{\rm tek}]$  — текущее показание прибора для каналов приемной и передающей антенн РИ;  $[\alpha_{\rm max}]$  — максимальное показание прибора для каналов приемной и передающей антенн РИ;  $[G_{\rm PH}]$  — коэффициент усиления антенны РИ, дБ;  $[P_{\rm np}]$  — апостериорное предельное значение чувствительности приемника в зависимости от  $[Y_{\rm kp_i}^{\rm anoct}]$  и диапазона частот, дБ;  $[P_{\rm изм}]$  — априорное значение чувствительности приемника в зависимости от  $[Y_{\rm kp_i}^{\rm anp}]$  и диапазона частот.

Дисперсия шумов квантования, определяется согласно (18) [1 – 10]:

$$\left[\sigma_{\text{III. KB}}^{2}\left(\frac{I_{\text{zTp}}^{o}}{I_{Z\text{Tp}}^{a}}, \beta_{\text{Tp PM}}^{\text{anoct}}\right)\right] = \left[\frac{1}{3}\left(\frac{D\left\{A_{\text{Tp}_{i}}\right\}}{2^{B+1}}\right)\right] = \left[\frac{\Delta^{2}}{12}\right],\tag{19}$$

где  $[\Delta]$  — интервал квантования; [D] — прогнозируемый динамический диапазон входных сигналов; [B] — разрядность АЦП.

Вероятность потери сигнала из-за ограничений в АЦП согласно (19) определяется как

$$[\Delta_{\text{okp}}] = \left[\sqrt{-\ln\left[1 - I_r\left(A_{C_{\min}} \le \frac{\Delta}{2}\right)\right]} 8P_{\text{cp}}\right], \tag{20}$$

где  $[P_{\rm cp}(Y_{\rm kp_i}^{\rm anocr})]$  — прогнозируемая мощность принятого сигнала;  $[A_{\rm Cmin}(A_{\rm Tp\ PM}^{\rm anocr})]$  — прогнозируемая амплитуда сигнала;  $[I_r]$  — интеграл вероятности. Прогнозируемый минимум дисперсии шумов квантования согласно (20)

$$\left[\min\{\sigma_{_{\text{III. KB}}}^{2}\} = \frac{\Delta^{2}(A_{_{\text{Tp PM}}}^{_{\text{anoct}}}, \beta_{_{\text{Tp PM}}}^{_{\text{anoct}}})}{12} \cong 3 \cdot 10^{-8} \, (B)\right]. \tag{21}$$

Полученные расчетные соотношения используются для контроля информационной надежности образца СЦТС по оператору [ $P_{\text{л. инф. опт}}^{\text{anoct}}$ ] и критерию контроля адаптивной чувствительности приемника (21), представленному в настоящей работе.

**Выводы.** Система цифровой тропосферной связи с адаптивным компенсатором быстрых и медленных замираний сигнала и потерь усиления антенн при случайных выборках направления поиска сигнала позволяет адаптивно контролировать чувствительность приемника.

В результате определяется информационная надежность образца СЦТС с помощью апостериорных процедур. Расчетные соотношения, полученные в работе, используются для контроля информационной надежности образца СЦТС.

#### Список литературы

- 1. *Рудаков В. И.* Тропосферные системы связи с адаптивными антеннами: моногр. / В. И. Рудаков. К.: ЦНИИ ВВТ ВС Украины; АО «Авионика», 1999. 292 с.
- 2. *Рудаков В. И.* Концепция определения потерь коэффициента усиления антенн при тропосферном распространении радиоволн / В. И. Рудаков // Известия высш. учеб. заведений. Серия «Радиоэлектроника». № 4. К.: НТУУ «КПИ, 2000. С. 35–41.
- 3. *Рудаков В. И.* Применение энергосберегающей технологии при приёме флуктуирующего сигнала при тропосферном распространении радиоволн / В. И. Рудаков // Арсенал XXI века. 2000. № 2. С. 44–51.

- 4. *Рудаков В. И.* Принцип минимакса в расчетах энергетических характеристик радиотехнических систем при тропосферном распространении радиоволн / В. И. Рудаков // Известия высш. учеб. заведений. Серия «Радиоэлектроника». Т.46; №11. К.: НТУУ «КПИ», 2003. С. 42–49.
- 5. *Рудаков В. І.* Метод двоконтурної обробки сигналів в зразках озброєння і військової техніки при тропосферному поширенні радіохвиль / В. І. Рудаков // зб. наук. праць Військового інституту Національного університету ім. Тараса Шевченка. Ювілейний вип. К.: ВІ НУН ім. Тараса Шевченка, 2003. С. 140–148.
- 6. *Рудаков В. И.* Цифровой амплифазометр СВЧ для радиотехнических систем специального назначения / В. И. Рудаков // Известия высш. учеб. заведений. Серия «Радиоэлектроника» / Военные радиоэлектронные технологии. − Т. 49; № 4. − К.: НТУУ «КПИ», 2006. − С. 68–80.
- 7. *Рудаков В. И.* Адаптивный алгоритм мониторинга в зоне действия системы дальней тропосферной связи / В. И. Рудаков // Арсенал XXI века. 2006. № 2. С. 23–28.
- 8. *Рудаков В. И.* Адаптивный автомат компенсации быстрых и медленных замираний сигнала и потерь усиления антенн в образце тропосферной связи / В. И. Рудаков // Известия высш. учеб. заведений. Серия «Радиоэлектроника»: Военные радиоэлектронные технологии. Т.49; № 6. К.: НТУУ «КПИ», 2008. С. 68–80.
- 9. *Rudakov V. I.* Adaptive compensation of quick and slow fadings signals in radio links of tropospheric scatter communications / V. I. Rudakov // Proceedings of the second International Conference on Antenna Theory and Techniques / National Technical University of Ukraine "KPI", 1997, 20–22 May, Kyiv, Ukraine. P. 161 163.
- 10. *Пат. на корисну модель* № 31241 МПК (Н04В 7/04, Н04В 7/08, Н04В 7/015, Н04В 7/22. Спосіб адаптивної компенсації швидких та повільних замирань сигналу і втрат підсилювання антен при тропосферному поширенні радіохвиль / В. І. Рудаков. заявл. 27.12.2007; опубл. 25.03.2008, Бюл. № 6.

### В. І. Рудаков

## Адаптивний контроль чутливості приймача за тропосферною фокальною плямою опромінювача адаптивної антени

Наведено можливість адаптивного контролю чутливості приймача за тропосферною фокальною плямою опромінювача адаптивної антени, якщо функція розподілу сигнал/шум контролюється адаптивно на вході приймача за оператором прогнозу штатної лімітної чутливості приймача.

### V. I. Rudakov

### Adaptive control of sensitivity receiver is probared by troposphere focal mancha of adaptive antenna

A probability adaptive control of sensitivity receiver is probared by troposphere focal mancha of adaptive antenna, if function distribution of signal/noise is adaptive controlled on the input of receiver by operate sensitivity of receiver limited.